



بررسی عددی رفتار جریان فوق بحرانی بر روی سرریزهای جانبی کلیدپیانویی

امیرعلی محمدعلی پوراهری^۱، محمدرضا جلیلی قاضی زاده^{۲*}، جلال عطاری^۳، محمود کریمی^۴

- ^۱ دانشجو کارشناسی ارشد مهندسی عمران- آب و سازه های هیدرولیکی، دانشکده مهندسی عمران، آب و محیط زیست، دانشگاه شهید بهشتی تهران
^۲ دانشیار دانشکده مهندسی عمران، آب و محیط زیست، دانشگاه شهید بهشتی تهران
^۳ دانشیار دانشکده مهندسی عمران، آب و محیط زیست، دانشگاه شهید بهشتی تهران
^۴ دانشجوی دکترای مهندسی عمران- آب، دانشکده مهندسی عمران، آب و محیط زیست، دانشگاه شهید بهشتی تهران

تاریخچه داوری:
دریافت: ۱۳۹۸-۰۲-۰۸
بازنگری: ۱۳۹۸-۰۴-۰۵
پذیرش: ۱۳۹۸-۰۴-۲۰
ارائه آنلاین: ۱۳۹۸-۰۵-۰۲

کلمات کلیدی:
سرریز کلیدپیانویی
سرریز جانبی
جریان فوق بحرانی
ضریب آبگذری
مدل عددی

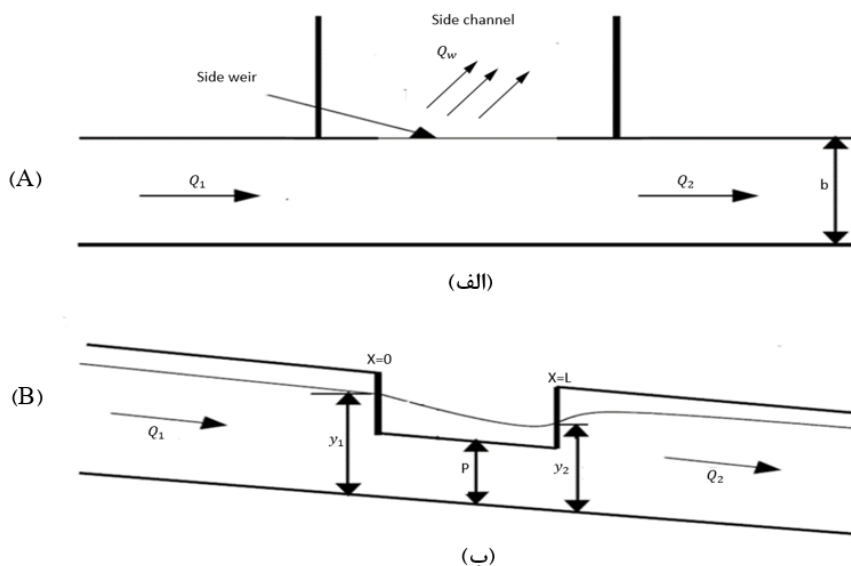
خلاصه: سرریزهای جانبی از جمله سازه های هیدرولیکی هستند که به عنوان یک سازه انحرافی می توانند به منظور کنترل و تقسیم دبی در جریان های سیلانی و با سرعت بالا، به کار گرفته شوند. جریان بر روی این سازه ها از نوع متغیر مکانی و در حالت کاهش دبی است. با توجه به بکارگیری سرریزهای جانبی در انتقال و کنترل دبی در جریان های سیلانی و مقادیر قابل توجه سرعت، وقوع جریان فوق بر روی سرریز جانبی بسیار محتمل است. هنگامی که طول دهانه سرریز محدود باشد می توان از سرریزهای جانبی کنگره ای و کلید پیانویی استفاده نمود. یکی از مزایای این سرریزها افزایش طول مؤثر سرریز نسبت به بازندگی دهانه است. عده مطالعات انجام شده در زمینه سرریزهای جانبی کلیدپیانویی محدود به روش آزمایشگاهی بوده، بنابراین با توجه به شرایط محدود آزمایشگاه هزینه زیاد انجام آنها و پیشرفت های اخیر در زمینه مدل های عددی، شبیه سازی این سرریز با نرم افزارهای دینامیک سیالات محاسباتی حائز اهمیت است. در این تحقیق سرریزهای جانبی، شبیه سازی این سرریز با نرم افزارهای دینامیک سیالات محاسباتی حائز اهمیت است. ابتدا با نتایج آزمایش های موجود، مدل عددی ۳D-FLOW کالیبره و صحت سنجی برای شبیه سازی سرریزهای جانبی انجام شد. از جمله نتایج بدست آمده در این تحقیق، تعیین و ارائه رابطه بین ضریب تصحیح انرژی جنبشی (α) و ضریب تصحیح اندازه حرکت (β)، تعیین ارائه ضریب آبگذری برای سرریزهای جانبی کلیدپیانویی در جریان فوق بحرانی و همچنین مقایسه شکل سرریزهای کلیدپیانویی است. نتایج تحقیق حاضر می توانند در طراحی سرریزهای جانبی مورد استفاده قرار بگیرند.

کanal اصلی خواهد شد. آبرسانی، انحراف جریان و محافظت در برابر سیلانها را می توان به عنوان دیگر موارد کاربرد سرریزهای جانبی نام برد. (شکل ۱) مقطع و پلان یک سرریز جانبی و مشخصه های جریان در حالت جریان فوق بحرانی را نمایش می دهد. سرریزهای کنگره ای سرریزهایی هستند که از لبه مستقیم و صاف در پلان برخوردار نبوده و دارای حالت خطی شکسته یا انحنای در حالت جریان فوق بحرانی را نمایش می دهد. سرریزهای کنگره ای سرریزهایی هستند که از لبه مستقیم و صاف در پلان برخوردار نبوده و دارای حالت خطی شکسته یا انحنای در حالت جریان فوق بحرانی را نمایش می دهد. در این سرریزها طول سرریز نسبت به سرریزهای معمولی می باشند. در این سرریزها طول سرریزها به عنوان سرریز اصلی در افزایش می باید. طول موثر این گونه سرریزها به عنوان سرریز اصلی در اکثر موقعیت ها برابر طول واقعی آنها می باشد [۱]. تحقیقات درباره

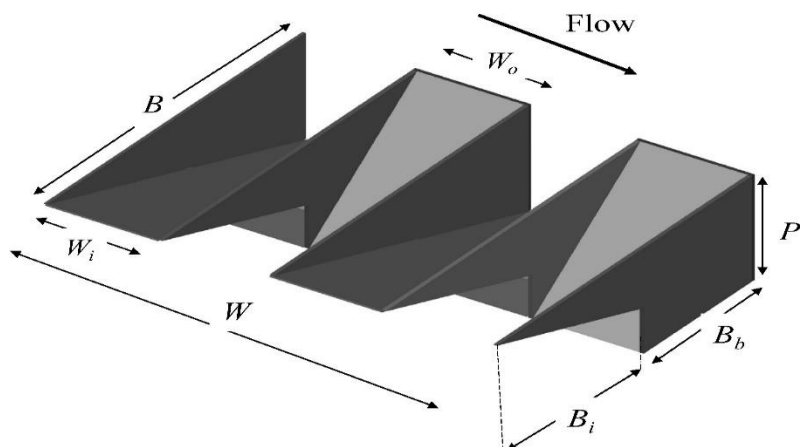
۱- مقدمه
سرریزهای جانبی از انواع سازه های هیدرولیکی می باشند که با اهداف متفاوت در سیستم های انتقال آب به کار گرفته می شوند. تعریف سرریز جانبی برخلاف تحلیل آن بسیار ساده است؛ چنانچه در دیواره یک کanal، سرریزی نصب شود که ارتفاع آن کمتر از ارتفاع کanal باشد، در هنگام بالا آمدن سطح آب، قسمتی از جریان از روی سرریز به صورت جانبی منحرف و در خارج از کanal اصلی تخلیه می گردد. این عملکرد باعث تنظیم و کنترل سطح آب و دبی در

* نویسنده عهده دار مکاتبات: m_jalili@sbu.ac.ir





شکل ۱. سرریز جانبی (الف) پلان ، ب) مقطع طولی
Fig. 1. side weir A) Plan , B) longitudinal section



شکل ۲. نمای سه بعدی یک سرریز جانبی کلید پیانوی
Fig. 2. 3D sketch of a piano key side weirs

مطالعات زیادی در مورد سرریزهای جانبی در حالت جریان‌های زیربحاری و فوقبحاری و همچنین شکل‌های مختلف هندسی سرریز و کanal اصلی انجام شده است. اولین آزمایش‌ها بر روی سرریزهای جانبی در سال ۱۹۱۷ توسط انگلیز^۱ انجام گرفت [۲]. از جمله مطالعات با اهمیت در این زمینه، مطالعات دی‌ماریچی^۲ در سال ۱۹۳۴ می‌باشد. دی‌ماریچی با فرض ثابت بودن انرژی مخصوص

سرریزهای کنگره‌ای که بصورت جانبی قرار گرفته باشند، اندک بوده و از سابقه زیادی برخوردار نیست. با توجه به پیشرفت‌تر بودن سرریزهای کلید پیانوی نسبت به سرریزهای کنگره‌ای و مستطیلی خطی، انتظار می‌رود که استقرار آن‌ها به صورت جانبی عملکرد هیدرولیکی سرریز را نسبت به سرریز مستقیم باز بهبود بخشد. استفاده از سرریزهای کلید پیانوی جانبی علاوه بر مزیت‌های انواع مستقیم آن از جمله افزایش ضریب آبگذری، ممکن است به علت محدودیت‌های توپوگرافی از نظر امکان اجرا و کاهش هزینه‌های ساخت، بهترین راه حل باشد.

¹ Engles

² De Marchi

³ Das

⁴ Swamee

$$Q = \frac{2}{3} C_d \sqrt{2g} W H_0^{1.5}$$

$$H = y + \alpha \frac{V^2}{2g} - P \quad (3)$$

$$H_0 = \frac{H_1 + H_2}{2}$$

که در آن Q دبی، C_d ضریب دبی، g شتاب جاذبه، W عرض سریز، H_0 ارتفاع معادل انرژی بالای تاج، H_1 و H_2 به ترتیب ارتفاع معادل انرژی بالادست و پایین دست سریز است [۱۲]. برای دریافت اطلاعات بیشتری از مشخصات جریان می‌توان از معادلات پایه انرژی و اندازه حرکت استفاده کرد. اما برای استفاده از معادلات انرژی و اندازه حرکت شناخت توزیع سرعت و تعیین ضرایب تصحیح انرژی جنبشی (α) و اندازه حرکت (β) مورد نیاز می‌باشد. الخشاب^۳ با آزمایش‌هایی که بر روی سریزهای جانبی مستطیلی انجام داد، روند تغییرات (α) را در طول سریز بررسی نمود. او اظهار داشت تغییرات آلفا در طول سریز جانبی، هم در جریان زیربحرانی و هم در جریان فوق بحرانی نرخ افزایشی دارد. الخشاب و همکاران مقادیر حداقل ضرایب α و β را برای سریزهای جانبی تا حدود $2/5$ و $1/2$ گزارش کردند [۱۳]. و نوتلی^۴ نشان داد که تغییرات آلفا در طول سریز جانبی در حالت فوق بحرانی، نرخ کاهشی و در حالت زیربحرانی، نرخ افزایشی دارد برای هر شرایط معین، می‌توان نسبت بین α و β را از رابطه‌ی زیر بدست آورد [۱۴].

$$\alpha = 2.7\beta - 1.7 \quad (4)$$

بختیاری برای سریز جانبی کنگره‌ای روند تغییرات α و β رابطه‌ای به صورت زیر پیشنهاد کرد.

$$\alpha = \beta^{1.85} \quad (5)$$

وی اظهار داشت که روند تغییرات α و β در طول سریز جانبی کنگره‌ای برای جریان زیربحرانی و فوق بحرانی همواره صعودی است [۱۵].

سیل سپور تغییرات مقادیر α بر حسب β را بصورت زیر ارائه کرد [۱۶].

در طول سریز، رابطه تحلیلی برای ضریب سریز جانبی مستطیلی به صورت زیر ارائه کرد [۳].

$$C_M = \frac{3}{2} \frac{B}{L} (\phi_1 - \phi_2) \quad (1)$$

که در آن ضریب شدت جریان دی‌مارچی C_M ، B عرض کanal اصلی، L طول سریز جانبی، آندیس‌های ϕ_1 و ϕ_2 به ترتیب معرف ابتداء و انتهای سریز و ϕ تابع تعريف شده به شکل زیر است:

$$\phi = \frac{2E - 3P}{E - P} \sqrt{\frac{E - y}{y - P}} - 3 \sin^{-1} \sqrt{\frac{E - y}{E - P}} \quad (2)$$

که در آن y عمق جریان، E انرژی مخصوص و P ارتفاع سریز جانبی است [۳]. تحلیل جریان بر روی سریزهای جانبی به کمک روش دی‌مارچی دارای ضعف‌هایی است. اول اینکه فرضیات ساده‌کننده‌ای در استخراج معادلات به کار گرفته شده است، دوم اینکه در شرایط مشابه با دیگر روش‌ها پراکنده‌گی داده‌ها به نسبت بیشتر است. بعد از مطالعه دی‌مارچی، محققین زیادی تلاش کردند تا ضریب دبی را به کمک آزمایش‌های تجربی تعیین و ارائه کنند. از جمله این محققین داس^۳، برقی، کشاورزی و قدسیان می‌باشند [۴-۷]. مروری بر مطالعات این محققین نشان می‌دهد که علیرغم روابط متعدد ارائه شده هنوز یک رابطه عمومی برای تعیین ضریب دبی ثابت مورد پذیرش قرار نگرفته است؛ علت این موضوع می‌تواند عدم ثابت بودن ضریب دبی در طول سریز باشد. به همین دلیل نیز بعضی از محققین ضریب دبی در طول سریز را ثابت در نظر نگرفته و ضرایب متغیر در طول سریز تعريف کردند از جمله این محققین سووام^۴، قدسیان و پرهیزگاری می‌باشند که البته این روابط نیز به صورت تجربی و براساس داده‌های آزمایشگاهی تعیین شده است [۸-۱۰]. روش دیگری که مطالعات تحلیلی امیراغلو^۱ و همکاران حکایت از اثربخشی و کارایی مناسب آن داشت؛ روش اشمیت^۲ است [۱۱]. در روش اشمیت انرژی مخصوص در طول سریز جانبی ثابت در نظر گرفته می‌شود. همچنین مقدار متوسط هد انرژی بالادست و پایین دست سریز ($H_0 = \frac{H_1 + H_2}{2}$) در رابطه سریز به شکل زیر قرار می‌گیرد:

3- Das

4- Swamee

3 EL-khasheb

4 Venutelli

جهت مختصات یا به عبارت دیگر معادلات ناویر استوکس^۳ بصورت روابط نشان داده شده در معادلات (۸) هستند:

$$\begin{aligned} \frac{\partial u}{\partial t} + \frac{1}{V_f} \left(u A_x \frac{\partial u}{\partial x} + v A_y \frac{\partial u}{\partial y} + w A_z \frac{\partial u}{\partial z} \right) &= \\ -\frac{1}{\rho} \frac{\partial P}{\partial x} + G_x + f_x & \\ \frac{\partial v}{\partial t} + \frac{1}{V_f} \left(u A_x \frac{\partial v}{\partial x} + v A_y \frac{\partial v}{\partial y} + w A_z \frac{\partial v}{\partial z} \right) &= \\ -\frac{1}{\rho} \frac{\partial P}{\partial y} + G_y + f_y & \\ \frac{\partial w}{\partial t} + \frac{1}{V_f} \left(u A_x \frac{\partial w}{\partial x} + v A_y \frac{\partial w}{\partial y} + w A_z \frac{\partial w}{\partial z} \right) &= \\ -\frac{1}{\rho} \frac{\partial P}{\partial z} + G_z + f_z & \end{aligned} \quad (8)$$

در این معادلات (G_x, G_y, G_z) شتاب‌های جرم و (f_x, f_y, f_z) شتاب‌های لزجت است. برای متغیرهای لزجت دینامیکی μ ، شتاب‌های لزجی به شکل معادلات (۹) هستند:

$$\begin{aligned} \rho V_f f_x &= wsx - \left\{ \frac{\partial}{\partial x} (A_x \tau_{xx}) + \frac{\partial}{\partial y} (A_y \tau_{xy}) + \right. \\ &\quad \left. \frac{\partial}{\partial z} (A_z \tau_{xz}) \right\} \\ \rho V_f f_y &= wsy - \left\{ \frac{\partial}{\partial x} (A_x \tau_{xy}) + \frac{\partial}{\partial y} (A_y \tau_{yy}) + \right. \\ &\quad \left. \frac{\partial}{\partial z} (A_z \tau_{yz}) \right\} \\ \rho V_f f_z &= wsz - \left\{ \frac{\partial}{\partial x} (A_x \tau_{xz}) + \frac{\partial}{\partial y} (A_y \tau_{yz}) + \right. \\ &\quad \left. \frac{\partial}{\partial z} (A_z \tau_{zz}) \right\} \end{aligned} \quad (9)$$

در معادلات (۹) جملات wsx , wsy و wsz بیان‌گر تنش‌های برشی دیواره‌ها هستند. اگر این جملات حذف شوند، دیگر تنش برشی دیواره‌ای وجود نخواهد داشت زیرا جملات باقی‌مانده شامل کسر مساحت‌های جریان (A_x, A_y, A_z) می‌شوند که در آنها دیواره‌ها در نظر گرفته نشده‌اند. تنش‌های روی دیواره‌ها به وسیله فرض

$$\alpha - 1 = 3(\beta - 1) \quad (6)$$

مطالعات آزمایشگاهی برای شناخت توزیع سرعت و تعیین ضرایب α و β با محدودیت‌های آزمایشگاهی همراه است و علیرغم مطالعات انجام شده، به علت این محدودیت‌ها و مشکلات اندازه‌گیری سرعت، توزیع سرعت به خوبی شناخته شده نیست. و حتی در مورد روند تغییرات ضرایب α و β در طول سرریز جانبی (صعودی یا نزولی بودن) نیز اختلاف نظر وجود دارد. در مقاله حاضر روند تغییرات ضرایب α و β به صورت عددی و به کمک نرم افزار FLOW-3D مورد بررسی قرار گرفته است.

۲-معادلات حاکم بر جریان در مدل FLOW_3D

معادلات حاکم بر جریان سیال از قوانین بقای جرم و اندازه حرکت به دست می‌آیند و به صورت معادلات دیفرانسیل جزئی می‌باشند. به طور کلی برای به دست آوردن معادلات جریان، سه گام را می‌توان در نظر گرفت: اول انتخاب قوانین پایه صحیح، دوم کاربرد قوانین توسط یک مدل مناسب جریان و سوم اقتباس معادلات ریاضی که مجسم کننده قوانین فیزیکی فوق باشند. معادلات اصلی برای شبیه سازی جریان سه بعدی، چهار معادله دیفرانسیل شامل روابط پیوستگی و اندازه حرکت در جهات (x, y, z) هستند.

۱-۱ معادله پیوستگی .

معادله پیوستگی جرم بطور کلی بصورت زیر است:

$$V_f \frac{\partial \rho}{\partial t} + \frac{\partial}{\partial x} (\rho u A_x) + \frac{\partial}{\partial y} (\rho v A_y) + \frac{\partial}{\partial z} (\rho w A_z) = 0 \quad (7)$$

که V_f کسر حجمی سیال^۱, ρ چگالی سیال، مولفه‌های سرعت (u, v, w) در جهات (x, y, z) می‌باشند. A_x کسر سطح باز^۲ در جهت x است، A_y و A_z به طور مشابه کسر سطح درجهات y و z می‌باشند.

۲-۲ معادله اندازه حرکت .

معادلات حرکت برای مولفه‌های سرعت سیال (u, v, w) در سه

¹ Fractional volume open to flow

² Fractional area open to flow

جدول ۱. مشخصات داده های آزمایشگاهی مورد استفاده برای صحت سنجی مدل (جلیلی قاضی زاده، ۱۳۷۳)
Table 1. Specifications of laboratory data used for model verification (Jalili Qazizadeh 1994)

| Q_w (lit/s) | Q_1 (lit/s) | $L(m)$ | $P(m)$ | $b(m)$ | نوع جریان | شماره آزمایش |
|---------------|---------------|--------|--------|--------|------------|--------------|
| ۸/۸۷ | ۷۷/۸۷ | ۰/۲ | ۰/۱ | ۰/۳ | فوق بحرانی | ۱ |
| ۱۹ | ۶۱ | ۰/۴۵ | ۰/۱ | ۰/۳ | فوق بحرانی | ۲ |
| ۶/۳۸ | ۶۱/۲۲ | ۰/۷۵ | ۰/۱ | ۰/۳ | فوق بحرانی | ۳ |
| ۲۲/۱۵ | ۴۴/۷۵ | ۰/۲ | ۰/۰۱ | ۰/۳ | زیربحرانی | ۴ |
| ۷۱/۳۲ | ۹۰/۱۶ | ۰/۷۵ | ۰/۱۹ | ۰/۳ | زیربحرانی | ۵ |

جدول ۲. مشخصات داده های آزمایشگاهی مورد استفاده برای صحت سنجی مدل (کریمی و همکاران، ۱۳۹۷)

Table 2. Specifications of laboratory data used for model verification (Karimi et al. 2018)

| Q_w (lit / s) | Q_1 (lit / s) | $\frac{W_i}{W_0}$ | $\frac{L}{W}$ | $W(m)$ | $P(m)$ | $B(m)$ | $b(m)$ | نوع جریان | شماره آزمایش |
|-----------------|-----------------|-------------------|---------------|--------|--------|--------|--------|-----------|--------------|
| ۱۴/۳۶ | ۵۹/۴۲ | ۱ | ۲/۷ | ۰/۶ | ۰/۱۵ | ۰/۲۶ | ۰/۶ | زیربحرانی | ۶ |
| ۱۲/۲۳ | ۳۰/۸۷ | ۱ | ۲/۷ | ۰/۶ | ۰/۱۵ | ۰/۲۶ | ۰/۶ | زیربحرانی | ۷ |
| ۳۵/۱۹ | ۵۹/۶۸ | ۱ | ۲/۷ | ۰/۶ | ۰/۱ | ۰/۲۶ | ۰/۶ | زیربحرانی | ۸ |

گلاس نصب شده بود، انجام شد. طول سرریز در این آزمایش‌ها مقدار ۴۵، ۴۵ و ۷۵ سانتی متر و ارتفاع سرریز ۱۰ و ۱۹ سانتی متر و دبی جریان در کanal اصلی از حدود ۴۳ تا ۱۰۰ لیتر در ثانیه متغیر بود. آزمایش‌ها برای جریان زیربحرانی و فوق بحرانی انجام شد. نتایج

داده‌های آزمایشگاهی مورد استفاده با شماره‌های ۱ تا ۵ در (جدول ۱) نشان داده شده است. در این بخش برای شبیه‌سازی سرریز جانبی مستطیلی، کanal به طول ۲ متر، عرض ۳۰ سانتی متر و ارتفاع ۴۰ سانتی متر در نظر گرفته شده است. که در آن b عرض کanal اصلی، P ارتفاع سرریز جانبی، L طول سرریز، Q_1 دبی بالادست سرریز و Q_w دبی عبوری از روی سرریز جانبی (دبی انشعابی) می‌باشد [۱۸].

سرعت مماسی صفر در قسمتی از سطح محدود به جریان شبیه‌سازی می‌شوند. شبکه و مرزهای موانع متحرک جزء موارد استثنای هستند زیرا در آنها سرعت مماسی غیر صفر است [۱۷].

۳-مواد و روش‌ها

۱-۱-۱-صحت سنجی نرم‌افزار برای شبیه‌سازی جریان روی سرریز های جانبی مستطیلی و کلیدپیانوی

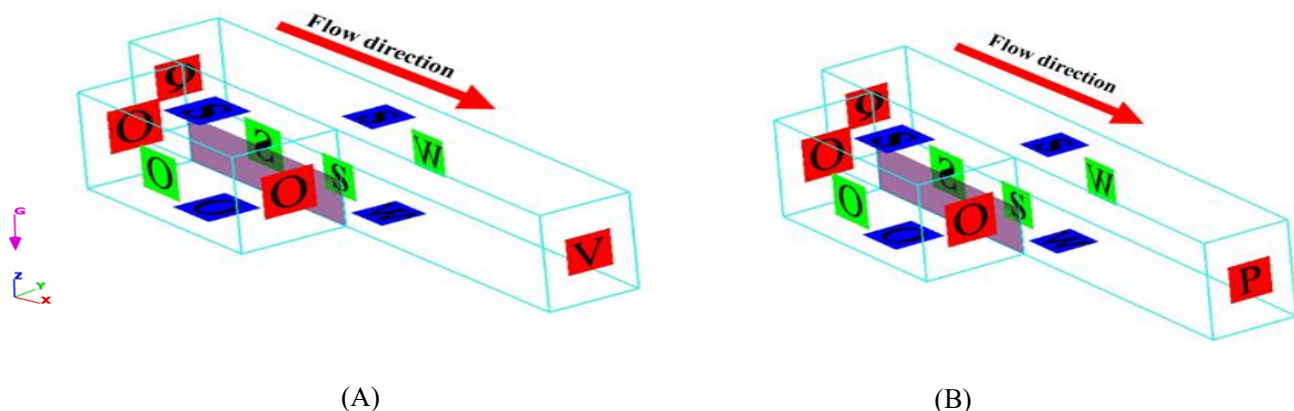
قبل از شروع تحلیل عددی جریان در شرایط مختلف، لازم است توانایی نرم افزار در مدل‌سازی جریان سه بعدی بر روی سرریز جانبی مورد بررسی قرار گیرد. بدین منظور در ادامه صحت سنجی نرم‌افزار با استفاده از داده‌های آزمایشگاهی در شرایط جریان زیربحرانی و فوق بحرانی ارائه می‌شود.

۱-۱-۳-داده های آزمایشگاهی سرریز جانبی کلیدپیانوی

آزمایش‌های مذکور برای جریان‌های زیربحرانی دریک فلوم شیشه‌ای به طول ۱۰ متر، عرض ۶۰ سانتی متر و ارتفاع ۶۰ سانتی متر که در دیواره جانبی آن سرریز جانبی از جنس پلکسی گلاس نصب شده بود، انجام گرفت. نتایج داده‌های آزمایشگاهی در (جدول ۲) آمده

۱-۱-۳-داده های آزمایشگاهی سرریز جانبی مستطیلی

آزمایش‌های مذکور برای جریان‌های زیربحرانی و فوق بحرانی در یک فلوم شیشه‌ای به طول ۱۳ متر و عرض ۳۰ سانتی متر و ارتفاع ۴۰ سانتی متر که در دیواره جانبی آن سرریز جانبی از جنس پلکسی



شکل ۳. شرایط مرزی سرریز جانبی مستطیلی مدل شده برای جریان الف-زیربحرانی ب- فوق بحرانی
Fig. 3. The boundary condition of a rectangular side weir modeling for flow; A)Subcritical ,B)supercritical

و برای دیگر شرایط مرزی از شرط تقارن و خروجی استفاده شده است.

۳-۲-۱- تحلیل حساسیت اندازه مش‌بندی

به عنوان نمونه جهت بررسی استقلال نتایج از ابعاد شبکه محاسباتی آزمایش (۲) با ابعاد مشد $\Delta x = \Delta y = \Delta z = 0.008, 0.01, 0.02\text{ (m)}$ که در (شکل ۵)، پروفیل جریان روی سرریز برای ابعاد شبکه‌های متفاوت در این دو مدل باهم مقایسه شده است که استقلال برای شبکه محاسباتی انتخاب شده را نشان می‌دهد. براساس این نتایج و در جهت اطمینان ابعاد شبکه برای تمامی شبیه‌سازی‌ها به صورت $\Delta x = \Delta y = \Delta z = 0.006\text{ (m)}$ در نظر گرفته شده است.

۳-۲-۲- انتخاب مدل آشفتگی

مدل عددی برای چهار حالت RNG ، LES ، $K-\epsilon$ و جریان غیرلزج برای آزمایش (۴) اجرا شد. نتایج به دست آمده نشان می‌دهد که در هر چهار حالت دبی عبوری از سرریز جانبی به هم نزدیک می‌باشد، لذا در تمام شبیه‌سازی‌های سرریز جانبی مستطیلی از مدل RNG استفاده شده است. نتایج شبیه‌سازی به همراه مدت زمان اجرای هر مدل در (جدول ۳) نشان داده شده است.

زمان شبیه‌سازی می‌تواند یک حدس اولیه براساس تجربیات آزمایشگاهی باشد و بیانگر زمانی است که پیش بینی می‌شود پدیده‌ی مورد نظر برای شبیه‌سازی در این زمان دائمی و پایدار می‌شود. در این شبیه‌سازی برای برقراری شرایط جریان دائمی،

است. در این آزمایش‌ها سرریز جانبی در فاصله ۶ متری از بالادست کanal قرار گرفته است. در این بخش برای شبیه‌سازی سرریز جانبی کلیدپیانویی، کanalی به طول ۲ متر، عرض ۶۰ سانتی‌متر و ارتفاع ۳۵ سانتی‌متر در نظر گرفته شده است.

که در آن b عرض کanal اصلی، B عرض سرریز در جهت جریان، P ارتفاع سرریز جانبی، L طول سرریز، W_0 و W عرض کلیدهای ورودی و خروجی، Q_1 دبی بالادست سرریز و Q_w دبی عبوری از روی سرریز جانبی (دبی انشعابی) می‌باشد [۱۹].

۳-۲-۳- شرایط مرزی

مطابق (شکل ۳) در سرریز جانبی مستطیلی برای مرز بالادست از شرط نرخ حجمی^۱ برای کناره‌های کanal از شرط دیوار^۲ و برای سطح آب از شرط مرزی تقارن^۳ استفاده شده است. تنها تفاوت شرایط مرزی جریان زیربحرانی و فوق بحرانی در شرط مرزی پایین دست می‌باشد که شرط مرزی پایین دست در جریان فوق بحرانی، شرط فشار معین^۴ است و در جریان زیربحرانی شرط سرعت معین^۵ در نظر گرفته شده است.

در سرریز جانبی کلیدپیانویی مطابق (شکل ۴) برای مرز بالادست از شرط نرخ حجمی ثابت و ارتفاع آب و برای مرز پایین دست از شرط سرعت ثابت و ارتفاع آب استفاده شده است. برای دیواره، شرط دیوار

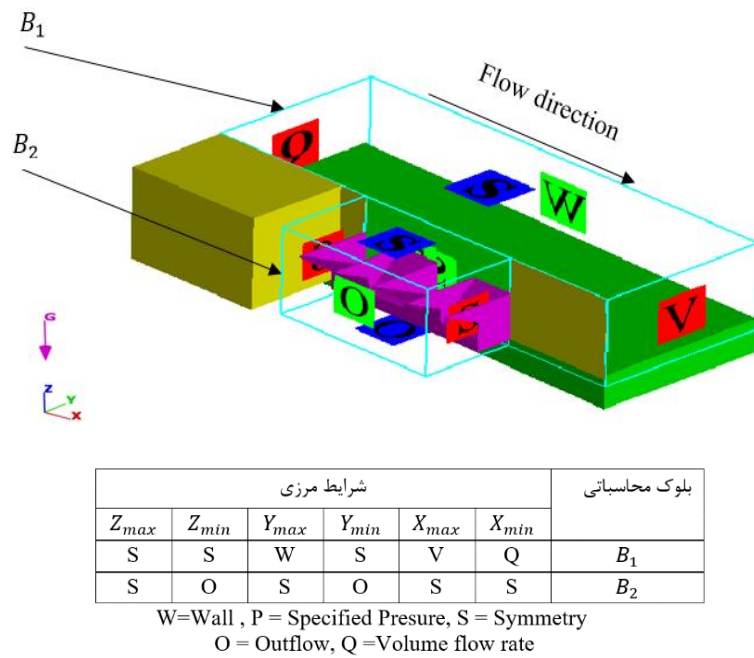
۱ Volume flow rate

۲ Wall

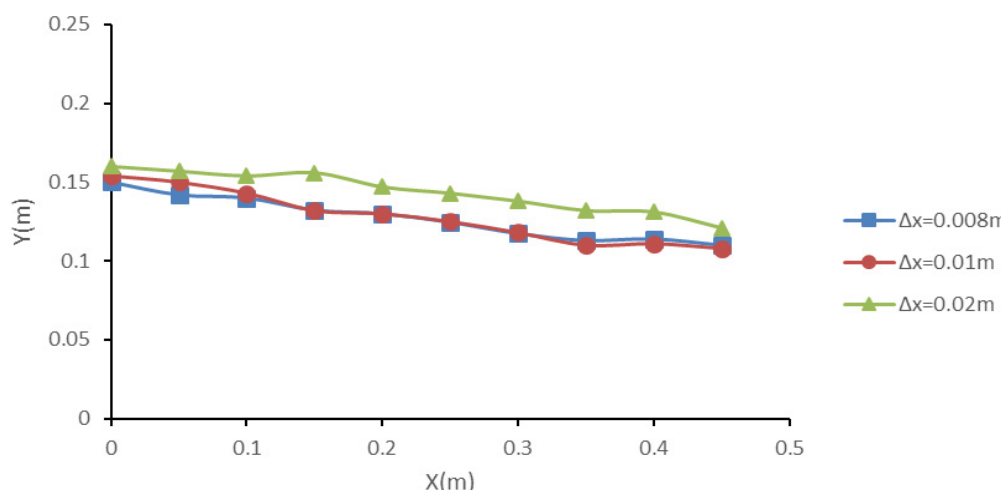
۳ Symmetry

۴ Specified pressure

۵ Specified velocity



شکل ۴ . شرایط مرزی سرریز جانبی کلید پیانویی مدل شده
Fig. 4. The boundary conditions of a piano key side weir modeling



شکل ۵ . مقایسه پروفیل سطح آب در طول سرریز با ابعاد مختلف شبکه محاسباتی برای آزمایش (۲)
Fig. 5. Comparison of water surface profile along overflow with different dimensions of computational network for test NO.2

جدول ۳ . نتایج حاصل از شبیه سازی جریان در مدل های مختلف آشفتگی برای آزمایش (۴)
Table 3. Results of flow simulation for different turbulence models for test NO.4

| RNG | LES | $K - \varepsilon$ | جريان غیر لزج | مدل آشفتگی |
|-------|-------|-------------------|---------------|--------------------|
| ۲۲/۱۵ | ۲۲/۱۶ | ۲۲/۲۷ | ۲۲/۴۲ | دبی(لیتر بر ثانیه) |
| ۴/۳۷ | ۱۰/۱۲ | ۶/۳۲ | ۱/۵ | زمان اجرا (ساعت) |

جدول ۴ . مقایسه مقادیر دبی انشعابی آزمایشگاهی و شبیه سازی عددی
Fig. 4. The boundary conditions of a piano key side weir modeling

| شماره آزمایش | نام سرریز | نوع جریان | Q_w (نرم افزار) (lit/s) | Q_w (آزمایشگاهی) (lit/s) | اختلاف نتایج دبی آزمایشگاهی و شبیه سازی عددی(%) |
|--------------|-------------|------------|---------------------------|----------------------------|---|
| ۱ | مستطیلی | فوق بحرانی | ۹/۱۹ | ۸/۸۷ | ۳/۶ |
| ۲ | مستطیلی | فوق بحرانی | ۲۰/۱۱ | ۱۹ | ۵/۵ |
| ۳ | مستطیلی | فوق بحرانی | ۶/۳۶ | ۶/۳۸ | ۰/۳۲ |
| ۴ | مستطیلی | زیربحرانی | ۲۱/۶۴ | ۲۲/۱۵ | ۲/۳۵ |
| ۵ | مستطیلی | زیربحرانی | ۷۰/۹ | ۷۱/۳۲ | ۰/۶ |
| ۶ | کلید پیانوی | زیربحرانی | ۱۴/۷۳ | ۱۴/۳۶ | ۲/۵ |
| ۷ | کلید پیانوی | زیربحرانی | ۱۳/۲۱ | ۱۲/۳۳ | ۷/۱۳ |
| ۸ | کلید پیانوی | زیربحرانی | ۳۵/۳۴ | ۳۵/۱۹ | ۰/۴۲ |

بدین ترتیب براساس نتایج بدست آمده می‌توان نتیجه‌گیری کرد که نرم افزار FLOW_3D با دقت مناسبی قادر به شبیه‌سازی جریان سه بعدی بر روی سرریزهای جانبی مستطیلی و کلید پیانوی بوده و نتایج تحلیل این جریان توسط نرم افزار، قابل استناد است. در ادامه نتایج شبیه سازی جریان بر روی سرریز جانبی ارائه و تحلیل خواهد شد.

شبیه‌سازی‌ها به مدت ۱۵ تا ۲۰ ثانیه اجرا شده است. برای محاسبه دبی عبوری از سرریز با توجه به قابلیت نرم افزار می‌توان از بافل^۱ به عنوان سطح شار استفاده نمود، همچنین برای ایجاد نشدن مقاومت در برابر جریان، تخلخل بافل برابر با یک در نظر گرفته شده است.

۳-۳-۱- نتایج صحت سنجی

۳-۳-۱- دبی عبوری از سرریز جانبی

در (جدول ۴) مقایسه مقادیر دبی انشعابی بدست آمده از نتایج شبیه‌سازی با نتایج آزمایشگاهی نشان داده شده است. نتایج (جدول ۴) نشان می‌دهد که نرم افزار با دقت خوبی دبی جانبی عبوری از سرریز جانبی مستطیلی و کلید پیانوی را برای هر دو جریان زیربحرانی و فوق بحرانی محاسبه کرده است.

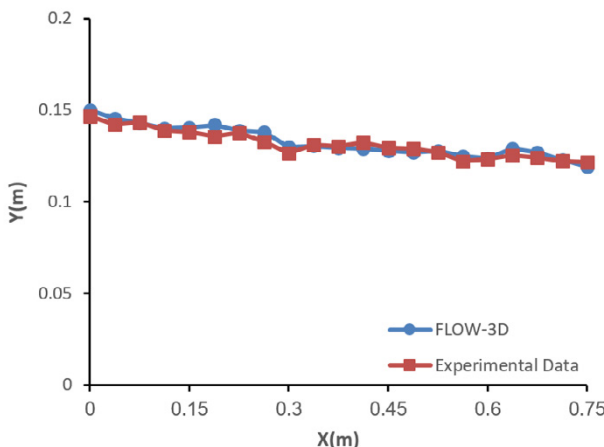
۳-۳-۲- پروفیل جریان در طول سرریزهای جانبی

نتایج مقایسه پروفیل سطح آب در طول سرریز جانبی با استفاده از داده‌های آزمایشگاهی و شبیه‌سازی عددی ارائه شده است. نکته قابل ذکر این است که پروفیل سطح آب برای تمامی شبیه‌سازی، در محور مرکزی کanal اصلی اندازه‌گیری شده است. پروفیل سطح آب در طول سرریز برای شبیه سازی‌های آزمایشگاهی ۱ تا ۸ بصورت زیر نشان داده شده است.

۱ baffle

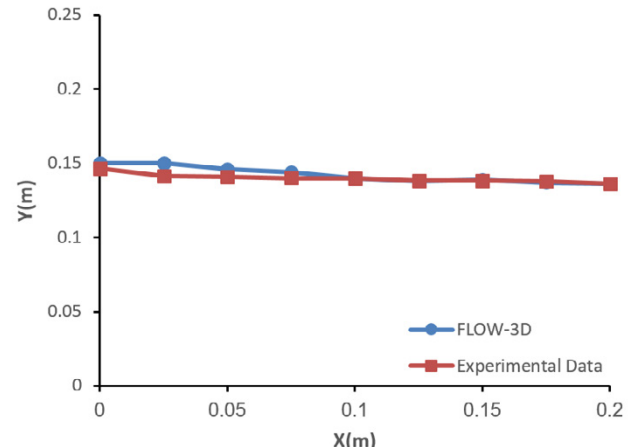
۳-۴-۱- ضرایب آلفا و بتا در طول سرریز جانبی کلید پیانوی با رفتار فوق بحرانی

به علت انحراف کanal جانبی نسبت به جریان اصلی، توزیع سرعت در طول سرریز جانبی نسبت به حالت کanal‌های معمولی متفاوت بوده و تغییر می‌کند در ادامه نحوه تغییرات α و β در طول سرریز جانبی



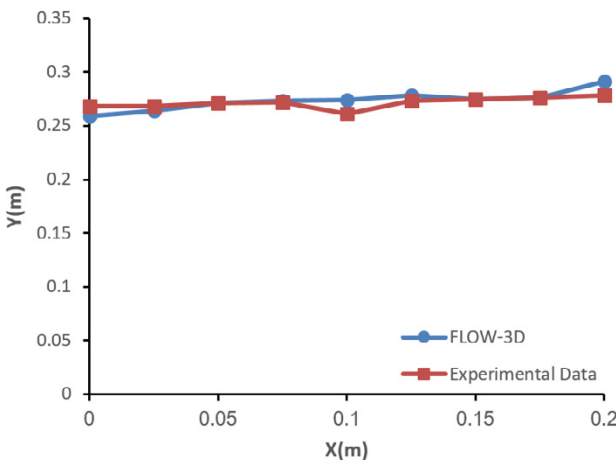
شکل ۸. روند تغییرات عمق در طول سرریز جانبی مستطیلی برای آزمایش شماره (۳)

Fig. 8. Variation of flow depth along the rectangular side weir for test NO.3



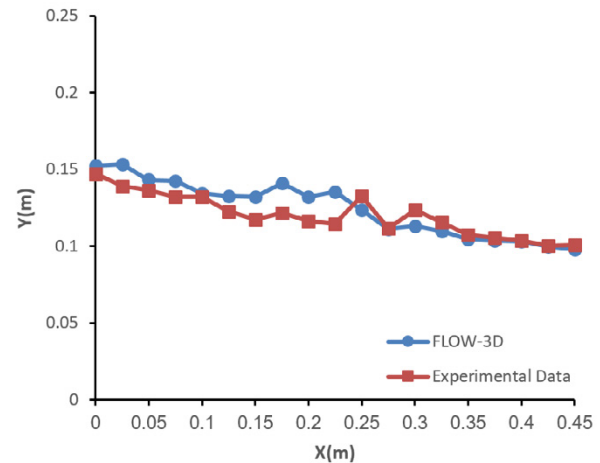
شکل ۶. روند تغییرات عمق در طول سرریز جانبی مستطیلی برای آزمایش شماره (۱)

Fig. 6. Variation of flow depth along the rectangular side weir for test NO.1



شکل ۹. روند تغییرات عمق در طول سرریز جانبی مستطیلی برای آزمایش شماره (۴)

Fig. 9. Variation of flow depth along the rectangular side weir for test NO.4



شکل ۷. روند تغییرات عمق در طول سرریز جانبی مستطیلی برای آزمایش شماره (۲)

Fig. 7. Variation of flow depth along the rectangular side weir for test NO.2

قابل قبولی در مورد ضرایب α و β باشد. ضرایب α و β به ترتیب از روابط (۱۰) و (۱۱) قابل محاسبه است [۲۰].

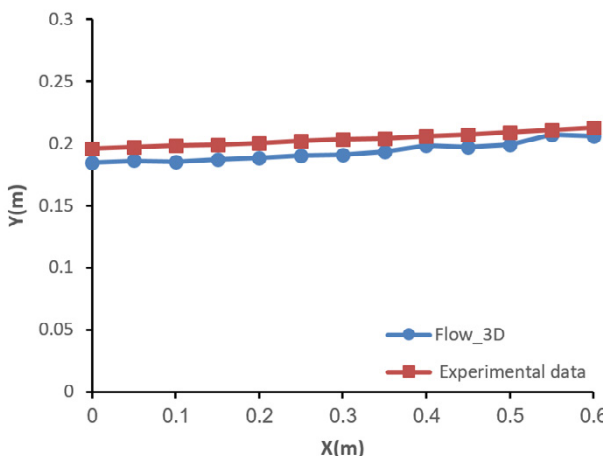
$$\alpha = \frac{\int (u^2 + v^2 + w^2) u dA}{V^3 A} \quad (10)$$

$$\beta = \frac{\int u^2 dA}{V^2 A} \quad (11)$$

که در آن u و v و w به ترتیب مولفه های سرعت در راستای x ، y و z سطح مقطع جریان می باشد. در مراجع مختلف

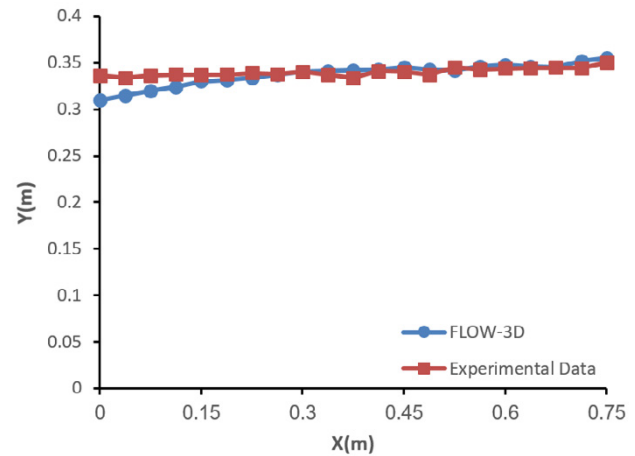
برای داده های جدید تولید شده مختلف مورد بررسی قرار گرفته است.

α و β تابع توزیع سرعت در مقطع جریان بوده و از آنجا که رابطه کلی در توزیع سرعت در کanalها در دسترس نمی باشد، لذا مبنای نظری دقیقی در تعیین α و β وجود ندارد و این عوامل به صورت کلی تحت تاثیر عوامل موثر در توزیع سرعت در کanal می باشند ولی مسلمان مقدار α همواره بزرگتر از β و هردو بزرگتر از یک می باشند. بنابراین با بررسی عددی جریان در کanal می توان به نتایج



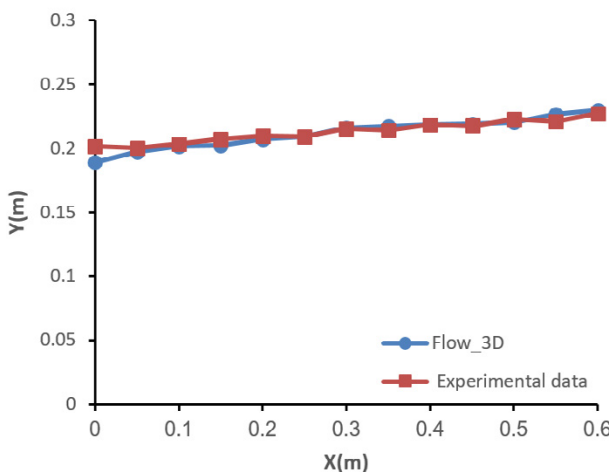
شکل ۱۲. روند تغییرات عمق در طول سرریز جانبی کلیدپیانویی برای آزمایش شماره (۷)

Fig. 12. Variation of flow depth along the rectangular side weir for test NO.7



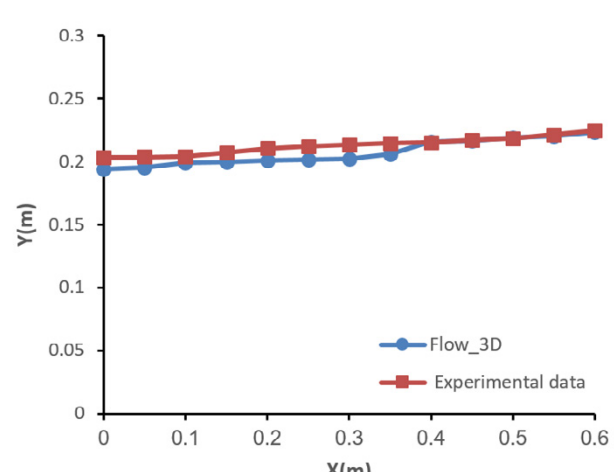
شکل ۱۰. روند تغییرات عمق در طول سرریز جانبی مستطیلی برای آزمایش شماره (۵)

Fig. 10. Variation of flow depth along the rectangular side weir for test NO.5



شکل ۱۳. روند تغییرات عمق در طول سرریز جانبی کلیدپیانویی برای آزمایش شماره (۸)

Fig. 13. Variation of flow depth along the rectangular side weir for test NO.8



شکل ۱۱. روند تغییرات عمق در طول سرریز جانبی کلیدپیانویی برای آزمایش شماره (۶)

Fig. 11. Variation of flow depth along the rectangular side weir for test NO.6

۲-۴-۳-۲- ضریب آبگذری جریان فوق بحرانی بر روی سرریزهای جانبی کلیدپیانویی
۲-۴-۳-۱- تحلیل ابعادی

تحلیل ابعادی به دانستن متغیرهای بی بعد کمک می کند در واقع رابطه بین مدل و نمونه واقعی است. استفاده از روش تحلیل ابعادی، به همراه درک فیزیکی از مساله مورد نظر به تعیین پارامترهای تاثیرگذار و میزان تاثیر آنها بر پارامتر هدف می گردد. در این تحقیق با درنظر گرفتن تئوری باکینگهام متغیرهای بی بعد حاصل و روابط

معمول از مقادیر γ و W بعلت مقدار نزدیک به صفر صرفنظر شده و رابطه آلفا بصورت رابطه (۱۲) در نظر گرفته می شود [۲۱-۲۲].

$$\alpha = \frac{\int u^3 dA}{V^3 A} \quad (12)$$

به این منظور سیزده سناریو، با مشخصات هندسی و هیدرولیکی متفاوت که عمدۀ تفاوت در عدد فرود بالادست می باشد مطابق (جدول ۵) شبیه سازی شده است.

جدول ۵. مشخصات شبیه سازی های جدید جریان فوق بحرانی بر روی سرریز جانبی کلید پیانوی
Table 5. Specifications of the new simulations of supercritical flow on the piano key side weirs

| Sim. Name | $P(m)$ | $b(m)$ | $W(m)$ | $\frac{W_i}{W_0}$ | Fr_1 | $Q_1(\text{lit / s})$ | $y_1(m)$ |
|-----------|--------|--------|--------|-------------------|--------|-----------------------|----------|
| SIM-۰۱ | ۰/۱ | ۰/۳ | ۰/۶ | ۱ | ۱/۲ | ۷۴/۵۶ | ۰/۱۶ |
| SIM-۰۲ | ۰/۱ | ۰/۳ | ۰/۶ | ۱ | ۱/۴۵ | ۱۰۵/۶ | ۰/۱۸ |
| SIM-۰۳ | ۰/۱۵ | ۰/۶ | ۰/۶ | ۱ | ۱/۵ | ۳۰۲/۱۴ | ۰/۲۱ |
| SIM-۰۴ | ۰/۱۵ | ۰/۳ | ۰/۶ | ۱ | ۱/۶ | ۲۰۴/۲۴ | ۰/۲۶ |
| SIM-۰۵ | ۰/۱۵ | ۰/۹ | ۰/۶ | ۱ | ۱/۹ | ۴۲۱ | ۰/۱۸۳ |
| SIM-۰۶ | ۰/۱۵ | ۰/۳ | ۰/۶ | ۱ | ۲ | ۱۶۸/۰۸ | ۰/۲ |
| SIM-۰۷ | ۰/۱ | ۰/۳ | ۰/۷۵ | ۱ | ۲/۲ | ۱۴۴/۸ | ۰/۱۷ |
| SIM-۰۸ | ۰/۱ | ۰/۳ | ۰/۶ | ۱ | ۲/۵ | ۱۲۳/۰۵ | ۰/۱۴ |
| SIM-۰۹ | ۰/۲ | ۰/۳ | ۱/۵ | ۱ | ۳ | ۴۶۳/۲ | ۰/۳ |
| SIM-۱۰ | ۰/۱۵ | ۰/۳ | ۰/۶ | ۱ | ۳/۲ | ۲۹۰ | ۰/۲۱ |
| SIM-۱۱ | ۰/۲ | ۰/۳ | ۰/۶ | ۱ | ۳/۵ | ۴۱۱/۰۸ | ۰/۳۵ |
| SIM-۱۲ | ۰/۱ | ۰/۳ | ۱ | ۱ | ۴ | ۱۰۷/۸۲ | ۰/۱۵ |
| SIM-۱۳ | ۰/۱ | ۰/۳ | ۱/۵ | ۱ | ۴/۵ | ۳۳۶ | ۰/۱۷ |

عرض کلید خروجی (W_0) و زاویه کلیدها نسبت به افق (θ)

مناسب بیان شده است.

د) مشخصات عمومی: شتاب ثقل (g)

از رابطه عمومی سرریزها برای محاسبه ضریب دبی بهره گرفته

براساس متغیرهای موجود نتیجه می‌شود:

شده است:

$$\phi \left(\rho, \mu, \sigma, Q, g, H_0, L, W, W_i, \begin{matrix} \\ W_0, b, B_i, B_0, \theta, C_d \end{matrix} \right) = 0 \quad (14)$$

$$Q = \frac{2}{3} C_d \sqrt{2g} W H_0^{1.5} \quad (13)$$

از جمله متغیرهای موثر بر ضریب آبگذری سرریزهای جانبی کلید پیانوی عبارتند از:

براساس تئوری باکینگهام با ترکیب هر یک از متغیرها، یک متغیر بی بعد حاصل می‌شود، بنابراین:

(الف) مشخصات فیزیکی سیال: جرم مخصوص (ρ)، لزجت

$$C_d = \phi \left(\frac{V_1^2}{g y_1}, \frac{\mu}{\rho y_1 V_1}, \frac{\sigma}{\rho y_1 V_1}, \frac{P}{H_0}, \frac{W_i}{W_0}, \frac{W}{b}, \frac{B_i}{B_0}, \theta \right) \quad (15)$$

در تحقیق حاضر شرایط زیر برای بررسی ضریب آبگذری بر روی سرریز جانبی کلید پیانوی در مدل سازی مدنظر قرار گرفته است: در موقعی که عمق آب بیشتر از سه سانتی متر باشد می توان از اثرات کشش سطحی آب صرف نظر نمود. درنتیجه پارامتر σ از محاسبات حذف می شود. با توجه به آشفتگی جریان تاثیر نیروی

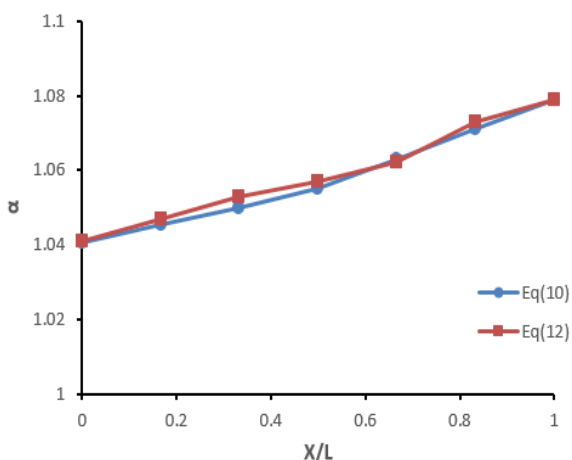
دینامیکی (μ) و کشش سطحی (σ)

(ب) مشخصات هیدرولیکی جریان: عمق آب در بالادست سرریز (y_1)، سرعت جریان کanal در بالادست سرریز (V_1)، دبی در کanal اصلی در بالادست سرریز (Q_1) و دبی عبوری از روی سرریز جانبی (Q_w)

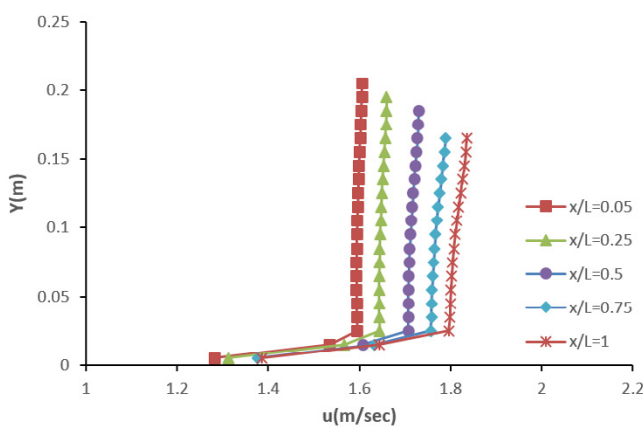
(ج) مشخصات هندسی کanal و سرریز: طول بازشدگی سرریز (W), ارتفاع سرریز (P), عرض کanal اصلی (b), ارتفاع معادل انرژی بالای تاج سرریز (H_0), طول سازه کنسولی بالادست (B_i), طول سازه کنسولی پایین دست (B_0), عرض کلید ورودی (W_i).

جدول ۶. مشخصات هندسی و هیدرولیکی سرریزهای جانبی کلیدپیانوی شبیه سازی شده
Table 6. Geometrical and hydraulic characteristics of Simulated piano key side weirs

| $\frac{P}{H_0}$ | $\frac{W}{b}$ | Fr_1 | $Q_1(\text{lit / s})$ | $b(m)$ | $P(m)$ | θ | تعداد آزمایش‌ها |
|-----------------|---------------|--------|-----------------------|---------------|-----------------|----------|-----------------|
| ۰/۴۲-۰/۹۶ | ۰/۲-۳ | ۱/۲-۳ | ۷۸-۳۱۰ | ۰/۹، ۰/۶، ۰/۳ | ۰/۲، ۰/۱۵، ۰/۱۰ | ۰-۱۵۰ | ۶۰ |



شکل ۱۴. مقایسه تغییرات ضریب آلفا در طول سرریز جانبی کلید پیانوی SIM-03 برای حالت‌های حذف v, w معادله (۱۰)، و معادله (۱۲) برای Fig. 14. Comparison of the variations in the alpha coefficient along the opening piano key side weir for the elimination states v, w of equation (10), and equation (12) for SIM-03



شکل ۱۵. تغییرات توزیع سرعت در عمق برای مقاطع مختلف در امتداد سرریز جانبی کلیدپیانوی برای SIM-03
Fig. 15. Variations of velocity distribution across depth for different sections along piano key side weir for SIM-03

همچنین بررسی توزیع سرعت در عمق می‌تواند به شناخت جریان از جمله تعیین مقادیر ضرایب تصحیح انرژی جنبشی و اندازه حرکت

لرجت در مقایسه با نیروی جاذبه کوچک است، بنابراین پارامترهای ρ و μ از محاسبات حذف گردیده‌اند [۲۴-۲۳]. در همه مدل‌ها، عرض کلیدهای ورودی و خروجی ($W_i = W_0$) و طول سازه‌های کنسولی بالا دست و پایین دست ($B_0 = B_i$) برابر در نظر گرفته شده است.

$$C_d = \phi_2 \left(Fr_1^2, \frac{P}{H_0}, \frac{W}{b}, \theta \right) \quad (16)$$

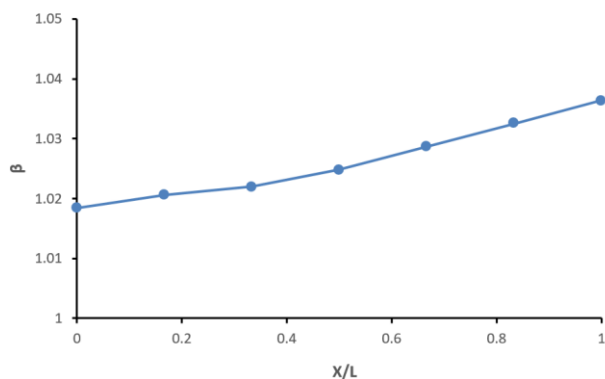
در ادامه این تحقیق، تاثیر پارامترهای فوق بر عملکرد هیدرولیکی سرریزهای جانبی کلیدپیانوی مورد بررسی قرار گرفته و منحنی‌ها و روابط طراحی این سرریزها ارائه خواهند شد. به منظور بررسی پارامترهای موثر بر ضریب آبگذری، در (جدول ۶) بازه تغییرات هندسی و هیدرولیکی سرریزهای مورد مطالعه نشان داده شده است. زاویه کلید، P ارتفاع سرریز، W عرض سرریز، b عرض کanal اصلی، Fr_1 عدد فرود در بالا دست سرریز، H_0 ارتفاع معادل انرژی بالای تاج سرریز است.

۴ - نتایج و بحث

۴-۱- بررسی ضرایب آلفا و بتا

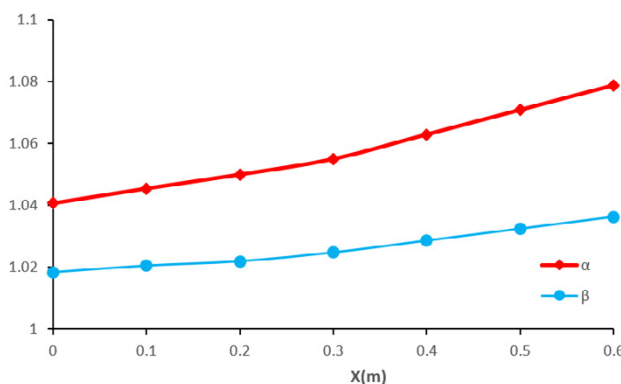
در حالت سه بعدی ضرایب تصحیح انرژی جنبشی و اندازه حرکت از روابط (۱۰) و (۱۱) قابل محاسبه می‌باشند. عنوان نمونه برای SIM-03 از (جدول ۵) توزیع سرعت در عمق در کanal اصلی، تغییرات ضریب تصحیح انرژی و اندازه حرکت در طول سرریز جانبی در اشکال (۱۴) تا (۱۷) نشان داده شده است. شایان ذکر است برای بقیه سناریوهای نتایج شبیه سازی مشابه این نمونه مورد بررسی قرار گرفته است.

در (شکل ۱۴) تطابق مقادیر ضریب آلفا بدست آمده از معادلات (۱۰) و (۱۲) نشان می‌دهد که حذف v و w تاثیری بر محاسبه ضریب آلفا نداشته و در حالت کلی صرف نظر کردن می‌باشد.



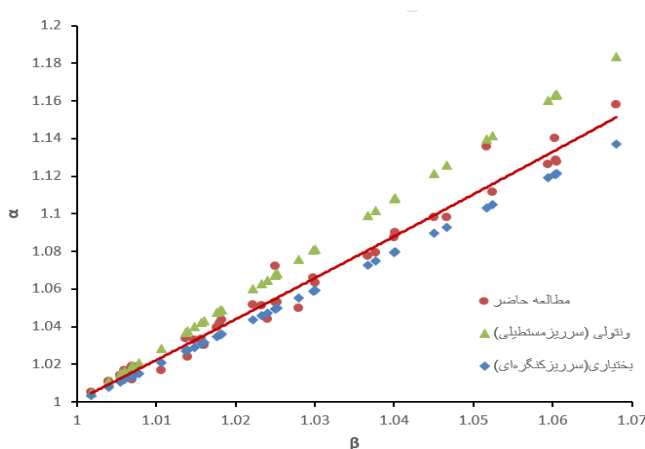
شکل ۱۶. تغییرات ضریب بتا در طول سرریز جانبی کلیدپیانویی برای SIM-03

Fig. 16. Variation of the beta coefficient along piano key side weir for SIM-03



شکل ۱۷. تغییرات ضریب آلفا و بتا در طول سرریز جانبی کلیدپیانویی برای SIM-03

Fig. 17. Variation of the alpha and beta coefficients along piano key side weir for SIM-03



شکل ۱۸. روند تغییرات آلفا نسبت به بتا در طول سرریز جانبی کلید پیانویی برای جریان فوق بحرانی

Fig. 18. The trend of α versus β along the piano key side weirs for the super critical flows

کمک کند. مطابق (شکل ۱۵) به علت آشفتگی در جریان فوق بحرانی توزیع سرعت به حالت یکنواخت نزدیک‌تر می‌باشد.

نتایج حاصل شده نشان می‌دهد که تغییرات α و β در طول سرریز جانبی کلید پیانویی برای جریان فوق بحرانی افزایشی می‌باشد. که با نتایج ارائه شده برای سرریز جانبی مستطیلی توسط الخشاب(۱۳۹۱) و بختیاری (۱۹۷۵) مطابقت دارد و با نتایج ونتولی(۲۰۰۸) مغایر است.

۴-۱-۴- رابطه بین آلفا و بتا

تغییرات مقادیر آلفا بر حسب بتا برای تمامی نتایج شبیه سازی (جدول ۵)، مطابق (شکل ۱۸) نمایش و با هم مقایسه شده است.

براساس نتایج مطالعه‌ی حاضر، برای تغییرات بین ضریب α و β رابطه‌ی زیرا $R^2 = 0.98$ (ضریب همبستگی) پیشنهاد می‌شود:

$$\alpha = \beta^{2.12} \quad (17)$$

نکته قابل توجه در این بخش آن است که اگر چه تعداد زیادی از نقاط شبیه سازی، α و β نزدیک به یک دارند ولی نتایج حاصل از شبیه سازی حاکی از آن است که نمی‌توان ضرایب α و β بصورت کلی عدد یک در نظر گرفت.

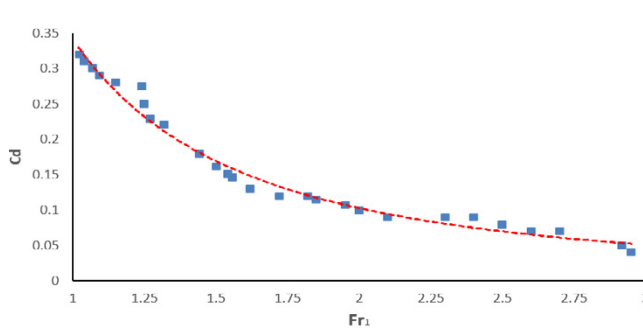
۴-۲- ضریب دبی

برای محاسبه ضریب دبی بروی سرریزهای جانبی روش‌های مختلفی وجود دارد که روش دی‌ماریچی یکی از معمول‌ترین آنهاست اما با توجه به پراکندگی زیاد داده‌ها در روش دی‌ماریچی از یک طرف و فرضیات ساده‌کننده‌ای در استخراج معادلات از طرف دیگر، در این تحقیق از روش اشمیت برای نمایش ضریب دبی استفاده شده است. روش اشمیت برپایه ثابت بودن انرژی مخصوص در طول سرریز جانبی. شایان به ذکر است برای محاسبه مقدار ضریب دبی از مقدار متوسط ارتفاع معادل انرژی بالای تاج بالادست و پایین دست بروی سرریز $(\frac{H_1 + H_2}{2})$ در رابطه سرریز مستقیم استفاده شده است. (شکل ۱۹)

تغییرات انرژی مخصوص در ابتدا و انتهای سرریز را نشان می‌دهد.

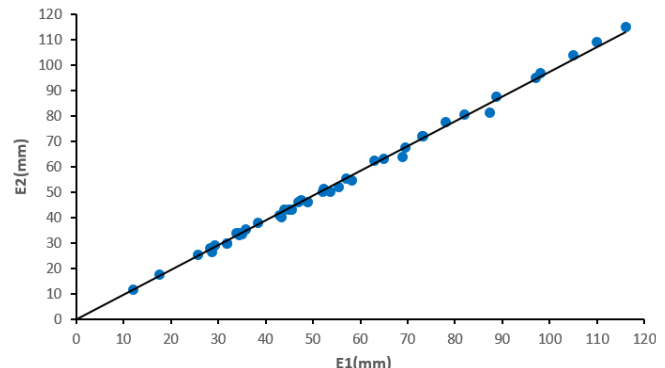
پس از بررسی نتایج فوق، مقدار متوسط درصد کاهش انرژی مخصوص در طول سرریز برابر با ۱.۸٪ است

$$E \% = \frac{100}{n} \sum \frac{|\Delta E|}{E_1} = \frac{100}{60}$$



شکل ۲۰. تغییرات ضریب دبی بر حسب عدد فرود

Fig. 20. Variation of the discharge coefficient with Froude number



شکل ۱۹. مقادیر انرژی مخصوص در ابتدا و انتهای سرریزهای جانبی کلید پیانوی

Fig. 19. Values of the specific energy at the beginning and end of the piano key side weirs

جدول ۷. ارتباط بین پارامترهای مورد مطالعه با ضریب دبی

Table 7. Relation between the studied parameters and the discharge coefficient

| ضریب همبستگی (R^2) | رابطه پارامتر با ضریب دبی | متغیر | |
|------------------------|--|-----------------|------|
| .۹۷ | $C_d = 0.1Fr_1^2 - 0.52Fr_1 + 0.73$ | Fr | (۱۸) |
| .۹۴ | $C_d = \left(\frac{P}{H_0}\right)^2 - 1.94\left(\frac{P}{H_0}\right) + 0.98$ | $\frac{P}{H_0}$ | (۱۹) |
| .۹۴ | $C_d = 0.05\left(\frac{W}{b}\right)^2 - 0.25\left(\frac{W}{b}\right) + 0.4$ | $\frac{W}{b}$ | (۲۰) |

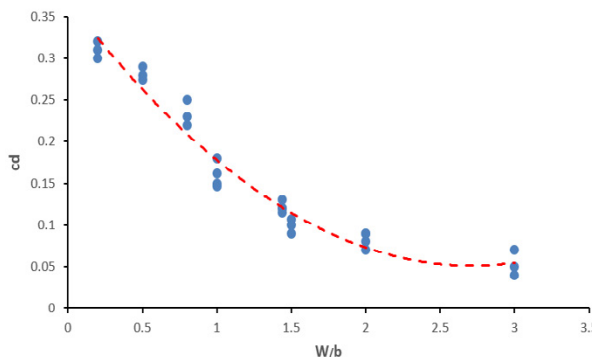
نتایج شبیه‌سازی نرم‌افزار مشاهده می‌شوند.

(شکل ۲۱) تغییرات ضریب دبی را نسبت به $\frac{P}{H}$ نشان می‌دهد. همانطورکه مشاهده می‌شود با افزایش نسبت $\frac{P}{H}$ ضریب دبی در جریان فوق بحرانی بر روی سرریز جانبی کلید پیانوی کاهش پیدا می‌کند. چنانچه نقاط توسط یک منحنی برازش شوند، به کمک منحنی می‌توان تغییرات ضریب دبی نسبت به $\frac{P}{H}$ را برآورده کرد. تغییرات ضریب دبی نسبت به $\frac{W}{b}$ در (شکل ۲۲) نشان داده شده است. با توجه به (شکل ۲۲) می‌توان نتیجه گرفت که در کanal با عرض کمتر جریان محدودتری می‌تواند از سرریز تخلیه شود و دبی سرریز جانبی را کاهش خواهد داد. همچنین برای یک دبی ثابت با عمق مشخص، جریان در کanal باریکتر سرعت و در نتیجه عدد فرود بیشتری دارد که خود از عوامل کم شدن ضریب دبی می‌باشد. به کمک منحنی برازش شده نقاط می‌توان تغییرات ضریب دبی نسبت به $\frac{W}{b}$ را تخمین

با توجه به تغییرات اندک موجود، فرض $E_1 = E_2$ را در جریان‌های فوق بحرانی پذیرفته و تحلیل نتایج را با استفاده از روش اشمیت دنبال می‌کنیم.

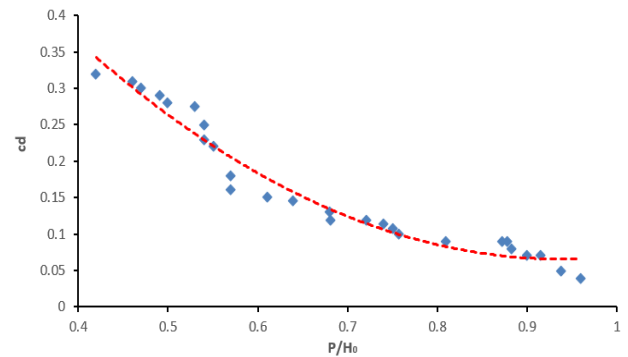
۱-۴-۲-۴- مطالعه تاثیر پارامترهای مختلف بر مقدار C_d

(شکل ۲۰) تغییرات ضریب دبی را نسبت به عدد فرود بالادست نشان می‌دهد. با توجه به زیاد شدن سرعت و عدد فرود، انرژی جنبشی جریان در جهت کanal اصلی زیاد بوده و جریان ثانوی فرصت محدودتری برای شکل‌گیری و سرریز شدن از سرریز جانبی را دارد در نتیجه همانطور که مشاهده می‌شود با افزایش عدد فرود مقدار ضریب دبی کاهش پیدا می‌کند. اگرتابع ضریب دبی بر حسب عدد فرود را بصورت تابع درجه دو در نظر بگیریم، معادله (۱۸) را در (جدول ۷) می‌توان پیشنهاد نمود. همچنین در (شکل ۲۰) نقاط بدست آمده از



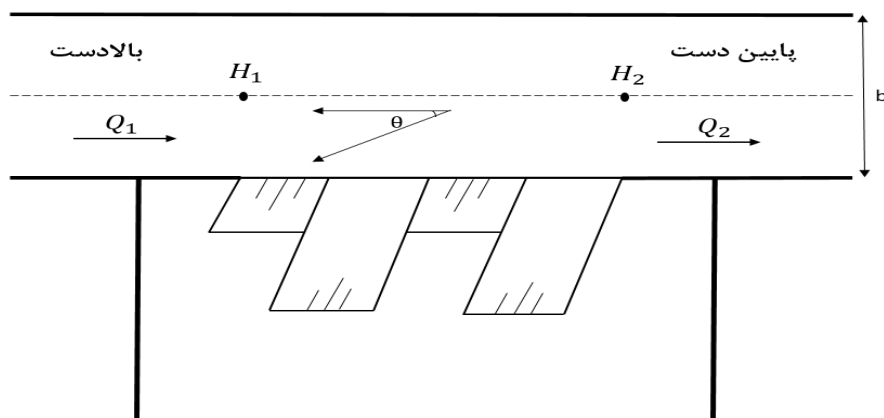
شکل ۲۲. تغییرات ضریب دبی بر حسب W/b

Fig. 22. Discharge coefficient changes versus to with W/b



شکل ۲۱. تغییرات ضریب دبی بر حسب P/H_0

Fig. 21. Discharge coefficient changes versus to with P/H_0



شکل ۲۳. طرح شماتیک از مشخصات هندسی کanal اصلی و سرریز
Fig. 23. Schematic view of geometrical characteristic of the main channel and the side weir

حالات یکسان می‌باشد. بررسی عملکرد سرریزها حاکی از آن است که بیشترین دبی عبوری در هر سه حالت زاویه ۱۲۰ درجه می‌باشد. علت اصلی این افزایش دبی عبوری از سرریزها در زاویه ۱۲۰ درجه همراستا بودن خطوط جریان با کلیدهای سرریز می‌باشد. در آزمایش‌های حاضر خطوط جریان حدوداً با زاویه ۳۰ درجه از کanal خارج می‌شود لذا وقتی که زاویه سرریز ۱۲۰ درجه است زاویه خطوط جریان و لبه سرریز حدوداً ۹۰ درجه می‌شود که باعث حداکثر دبی عبوری در واحد طول سرریز می‌شود. لذا بعد از ۱۲۰ درجه ضریب دبی روند کاهشی دارد.

۴-۲-۳- رابطه پیشنهادی برای محاسبه ضریب دبی در این قسمت تلاش شده است تا براساس نتایج بدست آمده، رابطه‌ای جهت تعیین ضریب دبی سرریزهای جانبی کلیدپیانویی برای جریان فوق بحرانی به کمک نرمافزار SPSS ارائه گردد.

۴-۲-۴- مطالعه و ضریب دبی مطالعه (۱۹) و (۲۰) نشان‌دهنده ارتباط بین پارامترهای مورد

زد. معادلات (۱۹) و (۲۰) نشان‌دهنده ارتباط بین پارامترهای مورد

مطالعه و ضریب دبی است.

۴-۲-۵- تاثیر تغییر زاویه قرارگیری سرریز بر روی ضریب دبی

در این بخش با تغییر در زاویه قرارگیری سرریزها سعی در انتخاب بهینه‌ترین سرریز خواهیم بود، برای این منظور سرریزهای کلیدپیانویی با مشخصات هندسی، مطابق (جدول ۶) شبیه‌سازی شده است که سه دبی ۱۰۰، ۱۵۰، ۲۰۰ (لیتر بر ثانیه) وارد کanal اصلی شده و دبی عبوری از سرریز محاسبه شده است. نتایج شبیه‌سازی در (شکل ۲۴) نشان داده شده است.

تاثیر زوایای مختلف در سرریزهای جانبی کلیدپیانویی مورد بررسی قرار گرفت. تفاوت سرریزهای مورد بررسی تنها در زوایای قرارگیری بوده و مشخصات هندسی سرریز و کanal اصلی در تمامی

دقت قابل قبولی و حداقل $+10\%$ خطا نسبت به مقادیر اندازه گیری شده محاسبه می کند.

۵- نتیجه گیری

۱- بررسی نتایج صحبت‌سنجی، قابلیت خوب نرم‌افزار FLOW_3D در مدل‌سازی سرریزهای جانبی کلید پیانوی را نشان می‌دهد.

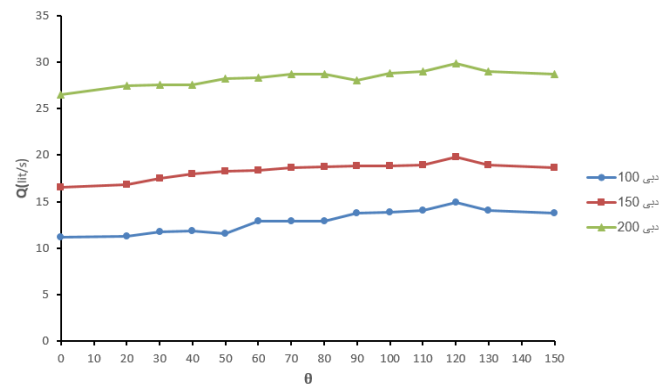
۲- روند تغییرات α و β در طول سرریز جانبی کلید پیانوی برای جریان فوق بحرانی در این تحقیق صعودی می‌باشد که با نتایج الخشاب و بختیاری مطابقت دارد اما با نتایج ارائه شده توسط ونتولی مغایر است.

۳- رابطه تغییرات ضرایب α و β برای سرریز جانبی کلید پیانوی در جریان فوق بحرانی پیشنهاد شد.

۴- در سرریزهای جانبی کلید پیانوی با افزایش عدد فروض ضریب دبی کاهش می‌باشد.

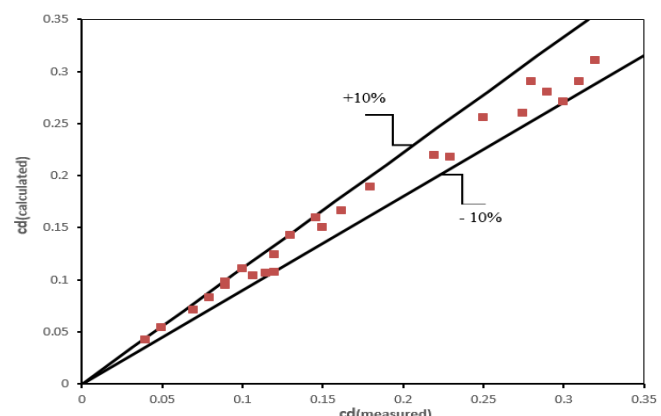
۵- با توجه به شبیه‌سازی‌های انجام شده بر روی سرریزهای جانبی کلید پیانوی مورب با عرض بازشدگی ثابت، سرریز کلید پیانوی با زاویه 120° درجه نسبت به افق، بیشترین دبی عبوری را نشان داد که افزایش دبی آن نسبت به سرریز جانبی مستطیلی بیش از 20% می‌باشد.

۶- رابطه جدیدی برای تعیین ضریب دبی در جریان فوق بحرانی بر روی سرریز جانبی کلید پیانوی ارائه شد.



شکل ۲۴. تغییرات دبی عبوری از سرریز جانبی کلید پیانوی با زوایای مختلف برای مقادیر مختلف دبی کanal اصلی

Fig. 24. Variation of diverted flow discharge with different angles of the piano key side weirs for different main channel discharge



شکل ۲۵. مقایسه مقادیر C_d بدست آمده از شبیه‌سازی و محاسبه شده با رابطه (۲۱)

Fig. 25. Comparison between the obtained values from simulation and equation (21)

این رابطه عبارت است از :

$$C_d = -0.8 + (Fr_l)^{-0.65} + 0.37 \left(\frac{P}{H_0} \right) + 0.1 \left(\frac{W}{b} \right) - 0.12\theta \quad (21)$$

ضریب همبستگی نقاط شبیه سازی شده نسبت به معادله (۲۱) برابر 0.98 می باشد.

به منظور دستیابی به خطا معادله (۲۱) در تعیین ضریب دبی سرریزهای جانبی کلید پیانوی، مقایسه ای بین مقادیر اندازه گیری شده و محاسبه شده C_d ، انجام پذیرفت که در شکل (۲۵) ارائه شده است. این شکل نشان می دهد که معادله پیشنهادی، ضریب دبی با

| فهرست علائم | |
|--------------------|-------|
| علائم انگلیسی | A |
| سطح مقطع آب m^2 | A |
| عرض کanal m | b |
| ارتفاع سرریز m | P |
| عرض سرریز m | B |
| ضریب دبی دی ماریچی | C_m |
| ضریب دبی اشمیت | C_d |
| عمق آب m | y |
| عرض بازشدگی W | W |

- on a straight channel, Journal of irrigation and drainage engineering, 138(8) (2012) 766-772.
- [2] V.T. Chow, Open Channel Hydraulics, New York, McGraw-Hill Book Company, Inc, 1959.
- [3] K. Subramanya, Flow in Open Channels, Tata McGraw-Hill, New Delhi, India, 2008.
- [4] A. Das, Spatially varied flow over an embankment side weir, Journal of irrigation and drainage engineering, 123(4) (1997) 314-317.
- [5] A.keshavarzi, A. R. Fararooi ,T.Honar, Hydraulic of flow over side weir in open-end and close-end conditions, Irrig Sci, (2001)
- [6] M.R.J, S. M. Borghei, M. Ghodisan, Discharge coefficient for sharp-crested side weir in subcritical flow, Journal of Hydraulic Engineering, (1999).
- [7] M. Ghodsian, Flow over triangular side weir, Scientia Iranica, 11(1) (2004).
- [8] P.K. Swamee, S.K. Pathak, M.S. Ali, Side-weir analysis using elementary discharge coefficient, Journal of irrigation and drainage engineering, 120(4) (1994) 742-755.
- [9] M. Ghodsian , Supercritical flow over a rectangular side weir, Canadian Journal of Civil Engineering, 30(3) (2003) 596-600.
- [10] M. Parhizgari, Provide design relationships on rectangular lateral overflows in combined sewage pipes using laboratory results, Masters thesis, Power and water university of technology, Tehran, Iran,(2006). (In Persian)
- [11] M.E. Emiroglu, E. Ikinciogullari, Determination of discharge capacity of rectangular side weirs using Schmidt approach, Flow Measurement and Instrumentation, 50 (2016) 158-168.
- [12] M. Schmidt, Zur Frage des Abflusses über Streichwehre: eine kritische Betrachtung der bekanntesten Berechnungsverfahren und Versuche im Zusammenhang mit eigenen Versuchen, Institut für Wasserbau der Techn. Univ., 1954.(In Germany)
- [13] A. El-Khashab, K.V. Smith, Experimental investigation of flow over side weirs, Journal of the Hydraulics Division, 102(9) (1976) 1255-1268.
- عرض کلید ورودی m W_i
- عرض کلید خروجی m W_0
- عرض پی در سریز m B_b
- طول سازه کنسولی بالادست m B_i
- طول سازه کنسولی پایین دست m B_0
- انرژی مخصوص m E
- عدد فرود Fr
- شتاب ثقل m/s^2 g
- ارتفاع معادل انرژی بالای تاج سریز m H_0
- دبی در کanal اصلی m^3/s Q
- ضخامت دیوار m T_s
- شتاب جرم m G
- سرعت در جهت x m/s u
- سرعت در جهت y m/s v
- سرعت در جهت z m/s w
- علائم یونانی
- ضریب تصحیح انرژی α
- ضریب تصحیح اندازه حرکت β
- چگالی kg/m^3 ρ
- لزجت دینامیکی m^2/s μ
- تنش برشی Pa τ
- زاویه کلیدها θ
- زیرنویس**
- 1 بالادست سریز
- 2 پایین دست سریز
- مراجع**
- [1] A. Parvaneh, S. Borghei, M. Jalili Ghazizadeh, Hydraulic performance of asymmetric labyrinth side weirs located

- key, labyrinth, and linear types, Journal of Hydraulic Engineering, 144(12) (2018).
- [20] W. Hager, Hydraulic of Distribution channels, International Association for Hydraulic of Research 20th IAHR congress, vol.6, Moscow,(1982).
- [21] J.D. Fenton, On the energy and momentum principles in hydraulics, in: Proc. 31st Congress IAHR, Seoul, 2005, pp. 625-636.
- [22] O. Castro-Orgaz, W.H. Hager, Subcritical side-weir flow at high lateral discharge, Journal of Hydraulic Engineering, 138(9) (2012) 777-787.
- [23] F. Henderson, Open Channel Flow McMillan Publ. Co, Inc., New York, (1966).
- [24] P. Novak, V. Guinot, A. Jeffrey, D.E. Reeve, Hydraulic modelling: An introduction: Principles, methods and applications, CRC Press, 2018.
- [14] M. Venutelli, Method of solution of nonuniform flow with the presence of rectangular side weir, Journal of irrigation and drainage engineering, 134(6) (2008) 840-846.
- [15] A ,Bakhtiari , Investigation of Labyrinth Side-Weirs Discharge Coefficient with Different Plans by FLOW-3D Software , Masters thesis, Power and water university of technology, Tehran, Iran(2013). (In Persian)
- [16] M. Seylsepour, Numerical study on the characteristics of the flow over side weirs, Masters thesis, Payame Noor University , Tehran, Iran(2014). (In Persian)
- [17] FLOW-3D Help, Ver11.2.2, Flow science Inc,(2017).
- [18] M.R.Jalili Qazizadeh, Laboratory examination of lateral overflows, Masters thesis, Sharif university of technology, Tehran, Iran,(1994).(In Persian).
- [19] M. Karimi, J. Attari, M. Saneie, M.R. Jalili Ghazizadeh, Side weir flow characteristics: comparison of piano

چگونه به این مقاله ارجاع دهیم

A.A. Mohammadali Pourahari., M.R. Jalili Ghazizadeh, J. Attari, M. Karimi, A numerical study on the behavior of a supercritical flow over piano key side weirs, Amirkabir J. Civil Eng., 52(11) (2021) 2913-2930.

DOI: [10.22060/ceej.2019.16228.6160](https://doi.org/10.22060/ceej.2019.16228.6160)

